

ale-cci

---

## Modelli Algoritmi per il Supporto alle Decisioni

April 12, 2020

# Introduction

## Grafi bipartiti

```
import collections

def is_biparted(graph):
    queue = collections.deque([('a', 0)])
    visited = set()
    color_of = {}

    biparted = True
    while biparted and len(queue):
        parent, color = queue.pop()
        visited.add(parent)
        color_of[parent] = color

        for neighbour in graph[parent]:
            if neighbour not in visited:
                queue.append((neighbour, 1-color))
            elif color_of[neighbour] == color:
                biparted = False

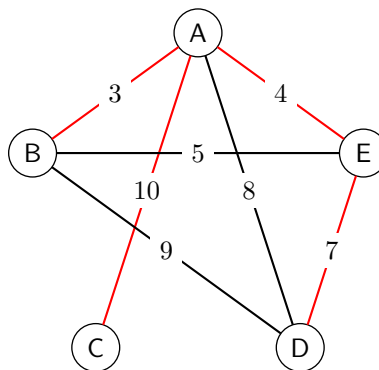
    return biparted

if __name__ == '__main__':
    is_biparted({
        'a': ['b', 'c'],
        'b': ['a'],
        'c': ['a']
    })
```

Some long description

## Minimum Spanning Tree

### Algoritmo di Kruskal (Greedy)



```
from utils import num_vertices
```

```

def kruskal(edges: list, N: int) -> list:
    connected = set()
    mst = []

    edges = sorted(graph)
    for edge in edges:
        weight, lhs, rhs = edge

        # Two nodes already connected
        if lhs in connected and rhs in connected:
            continue

        mst.append(edge)
        connected.update({lhs, rhs})

        if len(mst) == N:
            break

    return mst

if __name__ == '__main__':
    graph = [(10, 'A', 'C'), (8, 'A', 'D'),
              (7, 'D', 'E'), (4, 'A', 'E'),
              (3, 'B', 'A'), (9, 'B', 'D'), (5, 'B', 'E')]
    N = num_vertices(edges=graph)

    print(kruskal(graph, N))

```

### Correttezza algoritmo di Kruskal

Supponiamo per assurdo che esista un' diverso MST  $T' = (V, E_{T'})$  di peso inferiore a  $T = (V, E_T)$ , quello restituito dall'algoritmo greedy.

Siccome i due alberi hanno costo diverso, differiscono di almeno un' arco. Indichiamo con  $e_h$  l'arco a peso minore appartenente a  $\{E_T - E_{T'}\}$ . Dato che  $T'$  è un MST, esiste un ciclo  $C$  in  $\{e_h\} \cup E_{T'}$  contenente l'arco  $e_h$ . Siccome anche  $T$  è un albero, quindi non ha cicli, allora  $C \cap E_T \neq \emptyset$ . Chiamiamo  $e_r$  l'arco a peso minore appartenente a  $C \cap \{E_T - E_{T'}\}$ . Necessariamente  $w_{e_r} \leq w_{e_h}$ , altrimenti l'algoritmo greedy applicato a  $T$  avrebbe selezionato prima  $e_h$  al posto di  $e_r$ . Sostituendo in  $T'$  l'arco  $e_r$  con  $e_h$  ottengo un nuovo albero di peso inferiore.

Questo va contro l'ipotesi  $T'$  è l'albero di supporto a peso minore.

### Analisi complessità

$O(E \cdot \log(E))$ , dovuta all'ordinamento degli archi in ordine di peso. Il controllo dell'esistenza di cicli è effettuato in  $O(1)$ .

### Foresta di supporto

Viene chiamata foresta di supporto di un grafo  $G$  un grafo parziale  $F = (V, E_F)$  privo di cicli. In particolare, un albero di supporto è una foresta con una sola componente connessa.

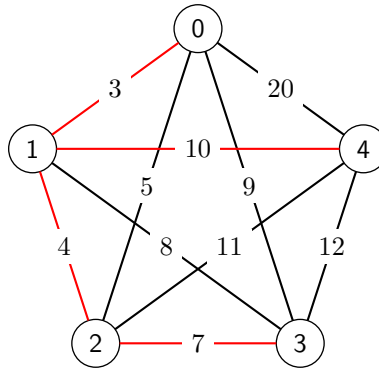
### Teorema

Indichiamo con  $(V_1, E_1), \dots, (V_k, E_k)$  le componenti connesse di una foresta di supporto  $F = (V, E_F)$  del grafo  $G$ . Sia inoltre  $(u, v)$  un arco a peso minimo tra quelli con un unico estremo in  $V_1$ . Allora esiste almeno un albero di supporto a peso minimo appartenente a  $\bigcup_{i=1}^k E_i$ , che contiene  $(v, v)$ .

**Dimostrazione**

Per assurdo, l'albero a peso minimo non contiene  $(u, v)$ . Ma aggiungendo  $(u, v)$  a tale albero si forma un ciclo contenente un altro arco  $(u', v')$  con un solo estremo in  $V_1$ . Se si toglie questo arco e si lascia  $(u, v)$  si ottiene un albero di peso minore, contraddicendo l'ipotesi.

## Algoritmo MST-1



```
def mst_1(w: list) -> list:
    V = set(range(len(w))) # {0, 1, 2, 3, 4}
    c = [0] * len(V)       # [0, 0, 0, 0, 0]
    U = {0}
    mst = []

    while U != V:
        weight, u = min((w[v][c[v]], v) for v in V - U)
        U.add(u)
        mst.append((u, c[u]))

        for v in V - U:
            if w[v][u] < w[v][c[v]]:
                c[v] = u

    return mst

if __name__ == '__main__':
    w = [[ 0, 3, 5, 9, 20],
          [ 3, 0, 4, 8, 10],
          [ 5, 4, 0, 7, 11],
          [ 9, 8, 7, 0, 12],
          [20, 10, 11, 12, 0]]

    print(mst_1(w))
```

### Correttezza MST-1

Inizialmente abbiamo la foresta con  $V_1 \equiv U = \{v_1\}$ ,  $V_i = \{v_i\}$   $i = 2 \dots n$ , con tutti gli  $E_i = \emptyset$ .

Alla prima iterazione si inserisce l'arco  $(V_i, v_{j_1})$ ,  $j_1 \neq 1$ , a peso minimo tra quelli con un solo estremo in  $U \equiv V_1$  e quindi, per il teorema visto al paragrafo della foresta di supporto, tale arco farà parte dell'albero di supporto a peso minimo tra tutti i possibili alberi di supporto.

Con l'aggiunta di questo arco, le due componenti connesse  $(V_1, E_1)$  e  $(V_{j_1}, E_{j_1})$  si fondono in un'unica componente connessa con nodi  $U = \{v_i, v_{j_1}\}$  e l'insieme di archi  $E_T = \{(v_1, v_{j_1})\}$ , mentre le altre componenti connesse non cambiano. Abbiamo cioè che le componenti connesse

$$(U, E_T), \quad (V_i, \emptyset) i \in \{2, \dots, n\} - \{j_1\}$$

Alla seconda iterazione andiamo a selezionare il nodo  $v_{j_2}$  e il relativo arco  $(v_{j_2}, c(v_{j_2}))$  con il peso minimo tra tutti quelli con un solo estremo in  $U$ . In base al teorema, l'arco  $(v_{j_2}, c(v_{j_2}))$  farà parte di un albero di supporto a peso minimo tra tutti quelli che contengono l'unione di tutti gli archi delle componenti connesse, che si riduce ad  $E_T$ .

Effettuiamo lo stesso ragionamento per tutti gli  $n$  ottenendo l'albero di supporto a peso minimo.

## Complessità dell'algorithmo

Il numero di operazioni richiesto è pari a  $O(V^2)$  dovuta al ciclo eseguito  $V$  volte ( $O(V)$ ) e la ricerca del minimo in tempo lineare.

## Confronto con algorithmo di Kruskal

Anche se risulta essere peggiore rispetto all'algorithmo di greedy Kruskal, è possibile dimostrare che, in caso di grafi densi ha una complessità ottima. Infatti per tali grafi non possiamo aspettarci di fare meglio di  $O(V^2)$ : la sola operazione di lettura dei pesi degli archi richiede  $O(V^2)$ .

## Algorithmo MST-2

```
import utils

def mst_2(edges):
    N = utils.num_vertices(edges=edges)
    mst = set()
    component = list(range(N))

    while len(set(component)) > 1:
        minimum = {set_name: None for set_name in set(component)}
        shortest = {set_name: None for set_name in set(component)}

        for weight, u, v in edges:
            s_u = component[u]
            s_v = component[v]

            if s_u == s_v:
                continue

            if minimum[s_u] is None or weight < minimum[s_u]:
                shortest[s_u] = (u, v)
                minimum[s_u] = weight

            if minimum[s_v] is None or weight < minimum[s_v]:
                shortest[s_v] = (u, v)
                minimum[s_v] = weight

        mst.update(shortest.values())

        # Find connected components with union-disjoint set
        for u, v in shortest.values():
            utils.union_set(component, u, v)
        component = [utils.get_set(component, i) for i in component]

    return mst

if __name__ == '__main__':
    edges = [(1, 0, 1), (2, 0, 2), (4, 0, 3), (3, 1, 2), (4, 1, 3), (1, 2, 3)]
    N = utils.num_vertices(edges=edges)

    print(mst_2(edges))
```

## Dimostrazione correttezza

Lasciata per esercizio, si basa sul teorema della foresta. *"Tutti gli archi shortest aggiunti ad una certa iterazione, sono tutti archi che fanno parte ad un albero di supporto ottimo, tra tutti i possibili alberi di supporto."*

### Complessità algoritmo

$O(E \cdot \log_2(V))$  derivato dal costo dell'iterazione su tutti gli archi  $O(E)$ , eseguita un numero massimo di  $\log(|V|)$  volte.

Inizialmente il numero di componenti connesse è pari al numero di nodi. Sicuramente ad ogni iterazione, il numero di componenti connesse viene almeno dimezzato. Per cui, il primo ciclo viene eseguito al più  $\log(|V|)$  volte.

Per grafi densi con  $|E| = O(|V|^2)$  questa complessità è peggiore di quella di MST-1, ma se il numero di archi scende sotto l'ordine  $O(|V|^2/\log(|V|))$  l'algoritmo MST-2 ha prestazioni migliori.

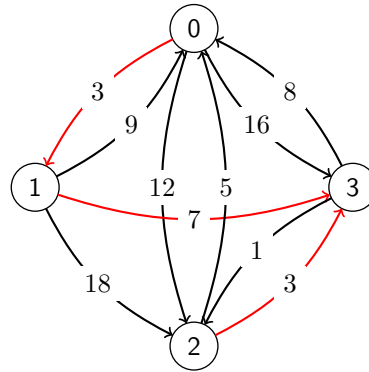
### Note

Questi tre algoritmi appena visti sono tutti e tre algoritmi costruttivi, senza revisione delle decisioni passate.

# Shortest Path

## Algoritmo di Dijkstra

Applicabile soltanto nel caso in cui i pesi degli archi siano sempre non negativi.



```
def dijkstra(adj_matrix: list, source: int):
    N = len(adj_matrix)
    W = {source}
    V = set(range(N))

    dist = [0 if i == source else adj_matrix[source][i]
             for i in range(N)]
    parent = [source] * N
    parent[source] = None

    while W != V:
        _, x = min((dist[i], i) for i in V - W if dist[i] is not None)
        W.add(x)

        for y in V - W:
            if adj_matrix[x][y] is None:
                continue

            if dist[y] is None or dist[y] > dist[x] + adj_matrix[x][y]:
                parent[y] = x
                dist[y] = dist[x] + adj_matrix[x][y]

    return parent

if __name__ == '__main__':
    w = [[None, 3, 12, 16],
          [9, None, 18, 7],
          [5, None, None, 3],
          [8, None, 1, None]]

    print(dijkstra(w, 0))
```

## Dimostrazione Correttezza

La dimostrazione viene effettuata per ragionamento induttivo sui due seguenti punti:

1.  $\forall y \in V$ , il valore `dist[y]` rappresenta ad ogni iterazione la lunghezza del cammino minimo da `source` a `y`, passando solo attraverso i nodi contenuti in `W`. `dist[y] == None` indica



che il nodo non è raggiungibile passando solamente attraverso i nodi di  $W$ . In `parent[y]` è memorizzato il nodo che precede immediatamente  $y$  in tale cammino. `parent[source] == None` indica che `source` non è preceduto da altri nodi.

2. quando il nodo  $x$  viene aggiunto a  $W$ , il valore `dist[x]` rappresenta la distanza minima tra `source` e  $x$ . Il cammino minimo è ricostruibile procedendo a ritroso partendo da `parent[x]`.

Per  $n = i = 0$  sono ovviamente vere entrambe.

### Dimostrazione punto 1

Per il passo  $n = i + 1$ , quando analizziamo  $y$ , abbiamo due casi possibili:  $x$  non è contenuto all'interno del cammino minimo, per cui, per ipotesi induttiva, la distanza minima è `dist[y]`; oppure  $x$  precede immediatamente  $y$  nel cammino minimo, quindi in tal caso deve avere distanza `dist[x] + weight[x][y]`.

Consideriamo per assurdo che  $x$  non preceda immediatamente  $y$ , allora  $\exists t \in W$  nel cammino minimo tra  $x$  ed  $y$ , il cammino da  $s$  a  $t$ , per ipotesi induttiva, ha almeno una lunghezza che è  $\geq \text{dist}[t]$ , con relativo cammino minimo che non comprende  $x$ . Il cammino da `source` a  $y$ , passante per  $x$  è quindi sostituibile da un' altro cammino di lunghezza inferiore, non passante per  $x$ , ma questo ricadrebbe nel primo caso, dove  $x$  non è contenuto all'interno del cammino minimo.

### Dimostrazione punto 2

per assurdo, ipotizziamo che esista un cammino da  $s$  a  $x$  di lunghezza inferiore a  $\rho(x)$  che passi per nodi  $\notin W$ , chiamato  $z$  il primo di tali nodi. Chiamato  $L(s, x)$ , la lunghezza del cammino passante per  $z$ , abbiamo che per ipotesi per assurdo:  $L(s, z) + L(z, x) < \rho(x)$ . Osserviamo che  $L(s, z) \geq \rho(z)$  perché tra  $s$  e  $z$  tutti i nodi sono contenuti in  $W$ , e  $\rho(z)$  è la lunghezza minima dei cammini da  $s$  a  $z$  non passanti per nodi al di fuori di  $W$ .  $L(z, x) \geq 0$  perché per ipotesi tutte le distanze sono non negative, quindi abbiamo:

$$\rho(z) \leq L(s, z) + L(z, x) = L(s, x) < \rho(x)$$

Siamo giunti ad un assurdo perché, da come è definito l'algoritmo  $x = \arg \min_{y \notin W} \{\rho(y)\}$ , e di conseguenza  $\rho(x) < \rho(z)$ .

### Complessità

Il numero di operazioni richiesto è  $O(V^2)$ , dovuta ad il ciclo principale di complessità  $O(|V|)$  ed il calcolo del minimo ed il ciclo sui nodi adiacenti, entrambi di complessità  $O(|V|)$ .

## Operazione di Triangolazione

Data una matrice  $n \times n$  di distanze  $R$ , per un dato  $j \in \{1 \dots n\}$ , chiamiamo “operazione di triangolazione” il seguente aggiornamento:

$$R_{jk} = \min \{R_{ik}, R_{ij} + R_{jk}\} \quad \forall i, k \in \{1 \dots n\} - \{j\}$$

## Algoritmo di Floyd-Warshall

Applicabile solo se nel grafo non sono presenti cicli di lunghezza negativa. Restituisce la lunghezza dei cammini minimi tra ogni coppia di nodi.

```
infty = 10**20

def floyd_warshall(w):
    N = len(w)
    R = [weights[:] for weights in w]
    E = [[None]*N for _ in range(N)]

    for i in range(N):
        for j in range(N):
            if R[i][j] is None:
                R[i][j] = +infty

    for j in range(N):
        for i in set(range(N)) - {j}:
            for k in set(range(N)) - {j}:
                if R[i][k] > R[i][j] + R[j][k]:
                    E[i][k] = j
                    R[i][k] = R[i][j] + R[j][k]

    if any(R[i][i] < 0 for i in range(N)):
        break

    return R, E

if __name__ == '__main__':
    w = [[None, 3, 12, 16],
          [9, None, 18, 7],
          [5, None, None, 3],
          [8, None, 1, None]]

    R, E = floyd_warshall(w)
```

### Note

In caso di distanze  $d_{ij} > 0$ , la condizione di arresto  $R_{ii} < 0$  non si potrà mai verificare, e si dimostra che i valori di  $R_{ij}$  danno la lunghezza del cammino minimo da  $i$  a  $j$  per ogni  $i \neq j$ , mentre le etichette  $E_{ij}$  consentono di ricostruire tali cammini minimi.

In caso di distanze negative, se non interviene la condizione di arresto  $R_{ii} < 0$ , allora anche qui gli  $R_{ij}$  danno la lunghezza del cammino minimo da  $i$  a  $j$ .

Se invece ad una certa iterazione si verifica la condizione  $R_{ii} < 0$ , indica la presenza di un ciclo a costo negativo nel grafo. In tal caso, anche ignorando la condizione di arresto  $R_{ii} < 0$ , non possiamo garantire che al momento della terminazione con  $j = n$  gli  $R_{ij}$  diano la lunghezza del cammino minimo da  $i$  a  $j$ .

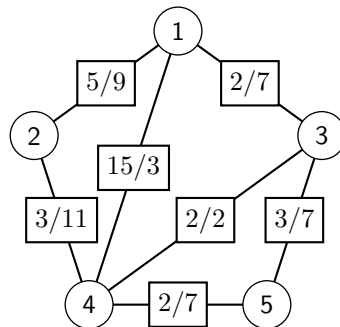
### Complessità

È facile osservare che la complessità per questo algoritmo è  $O(|V|^3)$ , dovuta ai tre cicli nidificati, ognuno di complessità  $O(|V|)$ .

## Note

Entrambi questi algoritmi, rientrano nella categoria di raffinamento locale. Infatti in entrambi i casi, data una coppia di nodi, si parte da una soluzione ammissibile, e ad ogni iterazione, tale cammino viene aggiornato nel caso se ne trovi uno di lunghezza inferiore.

# Flusso a costo minimo



## Classificazione dei nodi

Nei problemi di flusso a costo minimo, i nodi sono divisi in tre categorie, in base a  $b_i$ :

1. Nodi sorgente:  $b_i > 0$ , in essi viene realizzato il prodotto.
2. Nodi di transito:  $b_i = 0$ , il prodotto transita, senza variazioni
3. Nodi destinazione:  $b_i < 0$ , dove il prodotto viene consumato.

La proprietà  $\sum_i^n b_i = 0$ , quando non risulta valida, è forzabile aggiungendo un fittizio con  $b_{n+1} = -\sum_i^n b_i$ , collegato a tutti i nodi sorgente, attraverso archi di costo 0 e capacità  $+\infty$ .

## Nel caso di archi con capacità illimitata

In un problema di flusso su rete a costo minimo una **base** coincide con un albero di supporto. Ad ogni base è associabile una soluzione di base, ottenuta ponendo a 0 il flusso (quantità di prodotto inviata) su tutti gli archi che non fanno parte della base.

Nell'esempio in figura 1 prendiamo come esempio la base  $B_0 = \{ \}$ . Prendiamo come esempio nella rete  $G = (V, A)$  in figura 1, la base  $B_0 = \{(1, 5), (2, 3), (3, 4), (4, 5)\}$  se poniamo nullo il flusso degli archi non appartenenti alla base. Di conseguenza, otteniamo che i flussi relativi agli archi sono:

$$\begin{aligned} (1, 5) &= 2 \\ (2, 3) &= 5 \\ (3, 4) &= 6 \\ (4, 5) &= 2 \end{aligned}$$

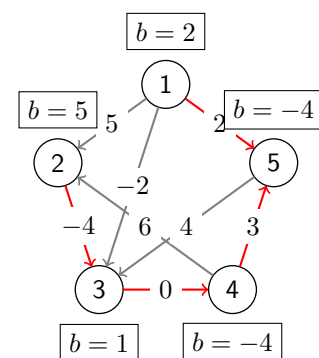


Figure 1:  $b_i$  sono indicati vicino al nodo

Se i flussi agli archi in base hanno valore non negativo, allora la soluzione è ammissibile, inoltre se i flussi sono tutti strettamente maggiore di 0, allora si parla di soluzione non degenera. Il costo totale di trasporto si calcola semplicemente sommando per ogni arco il prodotto tra quantità di flusso e costo di trasporto. Nel caso di esempio:

$$c_{15}x_{15} + c_{23}x_{23} + c_{34}x_{34} + c_{45}x_{45} = 2 \cdot 2 - 4 \cdot 5 + 0 \cdot 6 + 3 \cdot 2 = 10$$

NOTA: questa è solo una possibile soluzione, per sapere se è ottimale occorre confrontarla con le altre possibili soluzioni al problema.

## Coefficienti di costo ridotto

I coefficienti a costo ridotto sono valori numerici associati agli archi che non fanno parte della base, misurano la variazione del costo di trasporto al crescere dell'unità del valore del flusso associato tale arco.

### Condizione di ottimalità

Se i coefficienti di costo ridotto di tutti gli archi fuori base sono non negativi, questo indica che la crescita del flusso su qualsiasi arco fuori base comporta una crescita del costo di trasporto o nessuna variazione.

In tal caso possiamo concludere che la soluzione di base attuale è ottima. Inoltre se tutti i coefficienti a costo ridotto sono strettamente positivi, la soluzione è unica.

### Calcolo dei coefficienti a costo ridotto

Per calcolare il coefficiente relativo ad un arco fuori base, si aggiunge tale arco alla base attuale, considerare l'unico ciclo che si forma con tale aggiunta. Percorrendo il ciclo che si forma nel verso indicato dall'arco, sommo tutti i costi relativi agli archi percorsi in senso concorde e sottraggo tutti i costi relativi agli archi percorsi in senso opposto.

### Condizione di illimitatezza

Insieme alla condizione di ottimalità, esiste una seconda condizione d'arresto per l'algoritmo, che si verifica, quando, l'aggiunta di un arco (alla base) con coefficiente di costo ridotto negativo forma un ciclo orientato.

La motivazione è facilmente intuibile, siccome il costo di trasporto diminuisce indefinitamente.

### Dimostrazione

Dato un flusso ammissibile  $\{\bar{x}_{ij}\}$  corrispondente ad una certa base e con valore dell'obiettivo (costo di trasporto)  $C$ .

Sia  $\bar{c}_{rs} < 0$  il coefficiente di costo ridotto dell'arco fuori base  $(r, s)$ .

Sia  $r \rightarrow s \rightarrow l_1 \rightarrow \dots \rightarrow l_t \rightarrow r$  il ciclo orientato creato aggiungendo alla base l'arco  $(r, s)$

Per ogni  $\Delta \geq 0$  il seguente aggiornamento del flusso lungo gli archi del ciclo orientato dà origine ad un flusso ancora ammissibile, con obiettivo di corrispondenza:

$$C + \Delta c_{rs} \rightarrow -\infty \quad \text{per } \Delta \rightarrow +\infty$$

Il che mostra come l'obiettivo diverga a  $-\infty$  sulla regione ammissibile.

## Cambio di Base

Nel caso in cui la base scelta non rispetti né la condizione di ottimalità né la condizione di illimitatezza esiste un algoritmo per cambiare la base attuale in una ammissibile.

Scelgo l'arco fuori base con coefficiente di costo ridotto negativo <sup>1</sup> attraverso un approccio greedy, prendendo quello con coefficiente di costo ridotto minore, e chiamo tale coefficiente  $\bar{c}$ . Aggiungendo tale arco alla base, formando un ciclo. Tra tutti gli archi percorsi in verso opposto, rimuovo quello con quantità di prodotto su arco minore, e chiamo tale quantità  $\Delta$ . Successivamente, assegno all'arco appena aggiunto una quantità di prodotto inviata pari a  $\Delta$  ed aggiorno il flusso degli archi rimanenti dell'ex-ciclo.

Il nuovo costo è il costo precedente, Chiamato  $T$  il costo precedente, avremo che il nuovo costo sarà dato dalla formula  $T + \bar{c} \cdot \Delta$ .

---

<sup>1</sup>Ne esiste almeno uno altrimenti sarebbe stata soddisfatta la condizione di ottimalità

## Algoritmo del simplesso su rete

Dopo aver trovato una base, ripete iterativamente

1. Condizione di illimitatezza
2. condizione di ottimalità
3. cambio di base

Si può notare che nel caso degenerare può cambiare la base, tenendo costante il trasporto e la soluzione di base.

### Problema di 1<sup>a</sup> fase

Se il valore ottimo, risultato dalla 1<sup>a</sup> fase, è maggiore di 0, allora il problema originario ha regione ammissibile vuota (non ha soluzione). Se il valore ottimo è uguale a 0, il problema originario ha regione ammissibile non vuota (ha soluzione). Questo è dovuto al fatto che tutti gli archi di collegamento a  $q$ , hanno costo 1, mentre quelli del grafo originario hanno costo nullo. Un valore ottimo nullo, indica che esiste una soluzione all'interno del grafo originario.

Inoltre, in tal caso esiste un albero di supporto ottimo che contiene solo uno dei nuovi archi (incidenti su  $q$ ). Eliminando tale arco si ottiene una base ammissibile per il problema originario.

```
#TODO
import utils
from copy import copy
from collections import defaultdict

def is_optimal(rcc_list):
    return all(rcc >= 0 for rcc, edge in rcc_list)

def find_cycle(tree, edge):
    # graph is considered bidirectional
    return set()

def calculate_rcc(cycle):
    pass

def step_1(b: list, adjacency_list):
    assert(sum(b) == 0)
    graph = copy(adjacency_list)
    N = len(graph.keys())

    q = N
    base = set()
    for i, value in enumerate(b):
        if value < 0:
            graph[q].add((1, i))
            base.add((q, i))

        else:
            graph[i].add((1, q))
            base.add((i, q))
    b += [0]

    # reduced cost coefficient list
    rccs = {}
    for nodeA, neighbours in graph:
        for nodeB in neighbours:
            if (nodeA, nodeB) in base:
                continue
```

```

        cycle = find_cycle(graph, edge)
        rcc = calculate_rcc(cycle)

        rccs[(nodeA, nodeB)] = rcc

    while not is_optimal(rcc_list):
        # Operazione di cambiamento di base
        # Aggiornamento ccr

    if costo(base, costi) > 0:
        raise Exception('Non esiste soluzione')

    # Tolgo collegamento a q dalla base
    return base

if __name__ == '__main__':
    b = [1, 3, -4]
    edges = [()]

    adjacency_list = defaultdict(lambda: [])
    for (cost, u, v) in edges:
        adjacency_list[u].add((cost, v))

    step_1(b, adjacency_list)

```

## Algoritmo del simplesso con capacità limitate

```

def simplex(edges):
    base_solution = find_base_solution(edges)

    while not optimal_solution(base_solution):
        base_solution = change_base(base_solution)

    return base_solution

```

Gli archi sono suddivisi in tre tipi: gli archi in base  $B$ , archi fuori base a valore nullo  $N_0$  ed archi fuori base saturi (con flusso pari al proprio limite superiore)  $N_1$ .

Una soluzione di base è definita ammissibile se tutti gli archi in base hanno flusso compreso tra 0 e la propria capacità massima. Inoltre la soluzione non è degenere se tutti gli archi hanno flusso strettamente compreso tra 0 e la capacità dell'arco.

Partendo da una tripla  $(B, N_0, N_1)$ , per trovare la soluzione di base associata seguono i passaggi:

1. Inizializzazione
  - (a) Pongo a 0 il flusso lungo tutti gli archi in  $N_0$
  - (b) Pongo pongo saturi tutti gli archi  $\in N_1$
2. Determinare la quantità di prodotto inviata
  - (a) Partendo dai nodi foglia dell'albero di supporto, invio la massima quantità di prodotto inviabile
  - (b) DFS per calcolare il prodotto inviato su ogni arco
3. Verifico che la tripla in input sia una soluzione ammissibile

La tripla ammissibile viene trovata attraverso il metodo a due fasi:

Introduco un nodo aggiuntivo  $q$ , lo collego ad ogni sorgente e destinazione come nei casi precedenti.

### Condizione di Ottimalità

Per gli archi in  $N_1$  l'unica cosa possibile da fare è far decrescere la quantità di prodotto inviata, per questo voglio calcolare quanto varia il costo totale facendo **diminuire** la quantità di prodotto inviata sull'arco.

Per gli archi in  $N_0$ , il coefficiente di costo ridotto è non negativo

Per gli archi in  $N_1$ , il coefficiente di costo ridotto deve essere non positivo.

$$\bar{c}_{ij} \geq 0 \quad \forall (i, j) \in N_0 \quad \bar{c}_{ij} \leq 0 \quad \forall (i, j) \in N_1$$

Se le disuguaglianze sono strette la soluzione ottima è unica.

### Condizione di Illimitatezza

Se l'aggiunta alla base attuale di un arco in  $N_0$ , con coefficiente di costo ridotto negativo crea un ciclo orientato e **tutti** gli archi del ciclo hanno capacità pari a  $+\infty$ , allora il problema del flusso a costo minimo ha obbiettivo illimitato.

### Cambio di base

Attraverso sempre un approccio greedy, l'arco entrante in base è

$$(i, j) \in \arg \max \left\{ \max_{(i, j) \in N_0} -\bar{c}_{ij}, \max_{(i, j) \in N_1} \bar{c}_{ij} \right\}$$

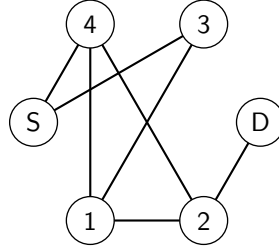
Per trovare l'arco uscente, aumento la quantità di prodotto  $\Delta$  se l'arco aggiunto era in  $N_0$ , altrimenti diminuiamo  $\Delta$  inviata lungo il ciclo in caso di arco in  $N_1$ . Al crescere di  $\Delta$ :

- Arco si azzerà, esce dalla base ed entra in  $N_0$ .
- Arco si satura, esce dalla base ed entra in  $N_1$ .
- L'arco fuori base si azzerà/satura, la base non cambia, ma l'arco cambia di collocazione (da  $N_0$  ad  $N_1$  e viceversa)

Una volta effettuato il cambio di base, si applica il controllo delle condizioni sulla nuova tripla ammissibile. Viene ripetuto questo procedimento fino a quando le condizioni sono soddisfatte.



# Flusso a costo massimo



Quando in un grafo di flusso voglio calcolare la massima trasmissione possibile tra un nodo sorgente  $S$  ed un nodo destinazione  $D$ . Il resto dei nodi della rete prende il nome di intermedio, ed hanno una capacità limitata  $c_{ij}$  che rappresenta la quantità massima di flusso inviabile attraverso l'arco.

## Taglio a costo minimo

Si consideri  $U \subset V$  tale che  $S \in U$  e  $D \notin U$ . L'insieme di archi  $S_U = \{(i, j) \in A : i \in U, j \notin U\}$  ovvero gli archi con il un solo estremo in  $U$ , è detto taglio della rete.

Ad un taglio è associabile anche un costo, pari alla somma delle capacità del taglio:

$$C(S_U) = \sum_{(i,j) \in S_U} c_{ij}$$

NOTA: Dalla sorgente alla destinazione non è possibile inviare una quantità di prodotto superiore alla capacità di taglio. Quindi il taglio a costo minimo indica il bottleneck della rete, ovvero la quantità massima di prodotto da sorgente a destinazione. L'algoritmo di risoluzione del flusso a costo massimo è anche la soluzione al problema del taglio a costo minimo.

## Procedura di soluzione

Partire da un flusso ammissibile,  $\bar{X} = (\bar{x}_{ij})_{(i,j) \in A}$  ed un cammino orientato  $S = q_0 \rightarrow q_1 \rightarrow \dots \rightarrow q_r \rightarrow q_{r+1} = D$ , privo di archi saturi.

In questo caso  $\bar{X}$  non è ottimo, dato che posso ancora inviare una quantità  $\Delta = \min_{i=0 \dots r} [c_{q_i, q_{i+1}} - \bar{x}_{q_i, q_{i+1}}]$  di prodotto senza violare i vincoli di capacità degli archi. Sommando  $\Delta$  otteniamo un cammino  $P$  da  $S$  a  $D$  contenente almeno un arco saturo.

Definiamo un nuovo grafo orientato  $G(\bar{X}) = (V, A(\bar{X}))$ , detto grafo associato al flusso  $\bar{X}$ . Il nuovo grafo ha gli stessi nodi della rete originaria ed ha il seguente insieme di archi  $A_f$  (archi forward) archi in  $P$  non saturi,  $A_b$  (archi backward) sono tutti gli archi della rete con  $x_{ij} > 0$  (stanno inviando prodotto), rivolti in orientamento opposto.

Supponiamo che esista un cammino orientato  $P$  da  $S$  a  $D$  in  $G(\bar{X})$ . Per ogni arco  $(i, j)$  del cammino, calcoliamo il seguente valore:

$$\alpha_{ij} = \begin{cases} c_{ij} - \bar{x}_{ij} & \text{se } (i, j) \in A_f(\bar{X}) \cap P \\ x_{ji} & \text{se } (i, j) \in A_b(\bar{X}) \cap P \end{cases}$$

Note:  $\alpha_{ij}$  indica la quantità di prodotto che si può rispedito indietro lungo l'arco, i.e. di quanto è possibile ridurre il flusso lungo l'arco  $(j, i)$ .

Una volta calcolati i coefficienti  $\alpha_{ij}$ , definisco

$$\Delta = \min_{(i,j) \in P} \alpha_{ij}$$

Note: Sottraendo questa quantità  $\Delta$  non è mai possibile avere valori di flusso negativi. Ed aggiorno i flussi  $\bar{x}_{ij}$  nel modo seguente:

$$\bar{x}_{ij} = \begin{cases} \bar{x}_{ij} + \Delta & \text{se } (i, j) \in A_f(\bar{X}) \cap P \\ \bar{x}_{ij} - \Delta & \text{se } (j, i) \in A_b(\bar{X}) \cap P \\ \bar{x}_{ij} & \text{altrimenti} \end{cases}$$

Note: segue che attraverso tale aggiornamento, sto inviando anche una quantità  $\Delta$  in più da sorgente a destinazione.

Diversamente se il grafo  $G(\bar{X})$  non contiene cammini orientati da  $S$  a  $D$ , possiamo immediatamente concludere che il flusso  $\bar{X}$  è soluzione ottima del problema di flusso massimo. Inoltre tutti i nodi raggiungibili dal nodo sorgente con un cammino orientato formano l'insieme di nodi che andranno a formare il taglio minimo.

## Algoritmo di Ford-Fulkerson

```
#TODO
from collections import deque

infinity = 10**20

def ford_fulkerson(adj_list, S, D):
    while True:
        # Passo 1
        label = {
            S: (S, infinity)
        }

        visited = {S}
        frontier = deque([S])
        marked = set()

        while len(visited - marked) > 0:
            # Passo 2
            i = visited.popleft()
            marked.add(i)

            _, delta = label[i]
            for j, product_sended, capacity in adj_list[i]:
                if j in visited:
                    continue

                if product_sended < capacity:
                    # Forward edges
                    label[j] = (i, min(delta, capacity - product_sended))
                else:
                    # Backward edges
                    label[j] = (i, product_sended)

                if j not in visited:
                    visited.add(j)
                    frontier.append(j)

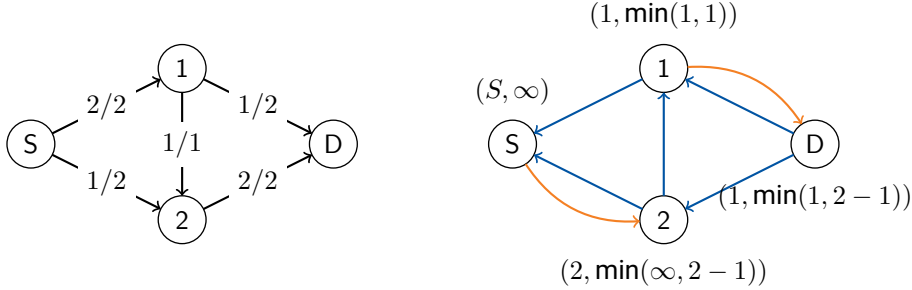
            # Passo 3
            if D in visited:
                _, delta = label[D]

                node = D
                while node != S:
```

```

        update_arc(adj_list, (label[node], node), delta)
        node, _ = label[node]
    break
else:
    break

```



### Teorema

Se si pone  $U = E$ , dove  $E$  è l'insieme dei nodi etichettati al momento della terminazione dell'algoritmo, si ha che il taglio  $S_U$ , indotto da  $U$  è soluzione ottima del problema di taglio minimo e il flusso attuale è soluzione ottima del problema di flusso massimo.

### Dimostrazione

Al momento della terminazione dell'algoritmo si ha  $S \in E$  (etichettato al passo 1) e  $D \notin E$  (Perché rimosso al passo 3). Quindi l'insieme  $E$  induce effettivamente un taglio.

Se il valore di tale taglio coincide con il valore del flusso uscente da  $S$ , avendo già osservato che il costo di ogni taglio non è inferiore al valore del flusso massimo, possiamo concludere che esso è il taglio a costo minimo ed il flusso attualmente uscente da  $S$  è massimo.

Misurando il flusso uscente da  $S$ , esso coincide con il flusso uscente dai nodi in  $E$ , che viene spostato verso i nodi nel complemento  $\bar{E} = V - E$ , meno il flusso che in senso opposto: da  $\bar{E}$  a  $E$ .

Per dimostrare che la quantità di prodotto complessivamente inviata da  $S$  a  $D$  è pari a:

$$\sum_{(i,j):(i,j) \in A, i \in E, j \in \bar{E}} \bar{x}_{ij} - \sum_{(j,i):(j,i) \in A, i \in E, j \in \bar{E}} \bar{x}_{ji}$$

osserviamo che si deve avere  $\forall (i,j) \in A, i \in E, j \in \bar{E} \bar{x}_{ij} = c_{ij}$ . Infatti, per assurdo si supponga che  $\exists (i_1, j_1) \in A, i_1 \in E, j_1 \in \bar{E} : \bar{x}_{i_1 j_1} < c_{i_1 j_1}$ . In tal caso  $(i_1, j_1) \in A_f(\bar{X})$ , ma al passo 2, il nodo  $j_1$  dovrebbe essere stato aggiunto ad  $E$ . Il che contraddice  $j_1 \notin E$ .

Si deve avere inoltre che  $\forall (j,i) \in A, i \in E, j \in \bar{E} \bar{x}_{ji} = 0$ , infatti, per assurdo si supponga che esista un  $(j_1, i_1) \in A : i_1 \in E, j_1 \in \bar{E}, \bar{x}_{j_1 i_1} > 0$ . In tal caso  $(i_1, j_1) \in A_b(\bar{X})$ , e quindi al passo 2, sarebbe anch'esso stato aggiunto ad  $E$ , contraddicendo l'ipotesi.

Sostituendo i valori di queste due osservazioni nella formula precedente, si ottiene che il valore de flusso è pari al costo del taglio introdotto da  $E$ :

$$\sum_{(i,j):(i,j) \in A, i \in E, j \in \bar{E}} c_{ij} = C(S_E)$$

### Complessità dell'algoritmo

$O(|A||V|^2)$  (se  $i$  è scelto tramite un metodo FIFO). Esistono raffinamenti di questo algoritmo di complessità  $O(|V|^3)$ .

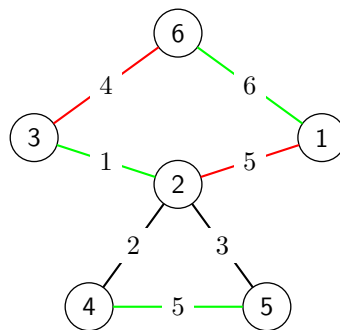
# Matching

## Definizione di Matching

Dato un grafo non orientato  $G = (v, A)$ , un matching è un sottoinsieme  $M \subseteq A$  dell'insieme di archi  $A$  tale che in  $M$  non ci siano coppie di archi adiacenti<sup>2</sup>.

## Matching a peso massimo

Di tutti i matching possibili, vogliamo trovare quello il cui peso  $w(M) = \sum_{e \in M} w_e$  sia massimo.



L'insieme di archi  $M_1 = \{(1,2) (3,6)\}$  forma un matching di peso 9, mentre  $M_2 = \{(2,3) (4,5) (1,6)\}$  ha un peso di 12. Algoritmi di matching sono utilizzati per determinare accoppiamenti ottimali tra i nodi.

Viene detto matching di **cardinalità massima**, l'insieme di problemi dove il peso di ogni arco è unitario. In caso di grafi bipartiti, si cerca una soluzione che colleghi i due set di nodi.

```
def matching_max_cardinality(adj_list):
    V1, V2 = biparted_sets(adj_list)

    M = initial_match()
    L = {}

    while unlabeled := (V1 - L.keys() - nodes_in(M)):
        R = set()
        L = {}

        start = unlabeled.pop()
        L[start] = ('E', '-')

        while available_nodes := L.keys() - R:
            current = available_nodes.pop()
            R.add(current)
            group, parent = L[current]

            if group == 'E':
                valid_neighbours = filter(lambda n: n not in L, adj_list[
                    current])
                for adj_node in valid_neighbours:
                    L[adj_node] = ('O', current)

            else:
                adj_nodes = set(adj_list[current]) - L.keys()
                nodes = {node for node in adj_nodes
```

<sup>2</sup>Con un nodo in comune

```

        if frozenset((current, node)) in M:

    if nodes:
        node = nodes.pop()
        L[node] = ('E', current)
    else:
        while L[current][1] != '-':
            group, next_node = L[current]
            if group == '0':
                M.add(frozenset((current, next_node)))
            else:
                M.remove(frozenset((current, next_node)))

            current = next_node
        break

    return M

```

### Complessità

$O(\min(|V_1|, |V_2|)|A|)$ , quindi polinomiale. Ad ogni iterazione la cardinalità del matching incrementa di 1 unità, appena raggiunta la cardinalità di  $V_1$  e  $V_2$  termina. Esiste un algoritmo più efficiente di complessità  $O(|V|^{1/2}|A|)$  ma non è trattato nel corso.

### Note

Collegando un nodo sorgente alla prima classe di partizione, ed un nodo destinazione alla seconda classe, il problema è riconducibile ad un problema di flusso massimo, risolvibile con Ford-Fulkerson.

### Assegnamento

Dato un grafo bipartito completo  $G = (V_1 \cup V_2, E)$  con  $V_1 = \{a_1 \dots a_n\}$  e  $V_2 = \{b_1 \dots b_n\}$  ( $|V_1| = |V_2|$ ), e  $\forall (i, j) \in E \quad d_{ij} \geq 0$  ed interi, il problema d'assegnamento è trovare il matching  $M$  di cardinalità  $n$  tale per cui  $\sum_{(i,j) \in M} d_{ij}$  è minimo.

Il numero di soluzioni ammissibili è ovviamente  $n!$ , siccome ad ogni nodo nella prima partizione deve corrispondere un nodo nella seconda.

Nei casi in cui  $|V_1| \neq |V_2|$  vengono aggiunti elementi fittizi con collegamenti di costo 0 nell'insieme con meno elementi.

### Algoritmo Ungherese

```

'''
d_ij = matrice dei costi

per ogni colonna trovo il minimo della colonna

a ogni elemento della colonna sottraggo il minimo (d0)

si ottiene una nuova matrice con pesi >= 0

---

stessa operazione con le righe (d1)

---

ottengo matrice di coefficienti d2

```

```

assegnamento rappresentato da matrice X
dove  $x_{ij} = 1$  se  $i$  assegnato a  $j$ , 0 else

Nota:  $\sum(x[i][j] \text{ for } j \text{ in } V) == 1$           # 1 solo nodo assegnato
stesso vale per  $j$ 

Nota: costo assegnamento =  $\sum(d_{ij} * x_{ij})$ 
=  $\sum(d_2 * x_{ij}) + \sum(d_1) + \sum(d_0)$ 

quindi  $D_1 = \sum(d_1) + D_0 = \sum(d_0) \leq \sum(d_{ij} * x_{ij})$  rappresenta
un lower bound del costo

se si trova un matching di costo  $D_1 + D_0$  allora è ottimo

---
trovare sottinsieme di 0 in  $d_2$  di cardinalità max (1 solo x riga e conna)

se insieme ammette soluzione di cardinalità

se  $\delta = n$ 
1h02 dimostraz: siccome gli elementi devono essere indipendenti per
il principio della piccionaia e  $\delta$  ha cardinalità  $n$ ,  $\sum_i(x_{ij}) == 1$  e
 $\sum_j(x_{ij}) == 1$ 

se  $\delta < n$ 
in caso non si riesca a trovare
va risolto un sottoproblema
'''
def ungherese(d):
    pass

if __name__ == '__main__':
    mtx = [[1, 2, 3],
            [4, 5, 6],
            [7, 8, 9]]
    ungherese(mtx)

```

# Contents

---

<b>Introduction</b>	<b>1</b>
Grafì bipartiti . . . . .	1
<b>Minimum Spanning Tree</b>	<b>1</b>
Algoritmo di Kruskal (Greedy) . . . . .	1
Foresta di supporto . . . . .	2
Algoritmo MST-1 . . . . .	4
Algoritmo MST-2 . . . . .	5
Note . . . . .	6
<b>Shortest Path</b>	<b>7</b>
Algoritmo di Dijkstra . . . . .	7
Operazione di Triangolazione . . . . .	9
Algoritmo di Floyd-Warshall . . . . .	9
Note . . . . .	10
<b>Flusso a costo minimo</b>	<b>11</b>
Classificazione dei nodi . . . . .	11
Coefficienti di costo ridotto . . . . .	12
Cambio di Base . . . . .	12
Algoritmo del simplesso su rete . . . . .	13
Algoritmo del simplesso con capacità limitate . . . . .	14
<b>Flusso a costo massimo</b>	<b>16</b>
Procedura di soluzione . . . . .	16
Algoritmo di Ford-Fulkerson . . . . .	17
<b>Matching</b>	<b>19</b>
Definizione di Matching . . . . .	19
Matching a peso massimo . . . . .	19
Assegnamento . . . . .	20
Algoritmo Ungherese . . . . .	20